

BCCD 的一维模型及其数值分析*

崔 成 烈

(中国科学院半导体研究所)

一、引言

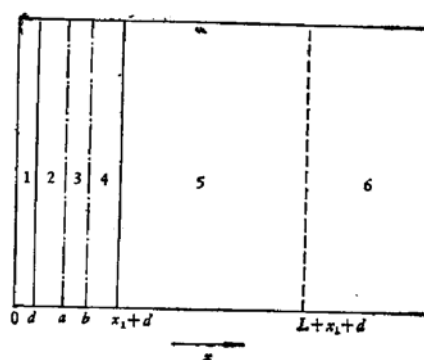
由于埋沟电荷耦合器件(BCCD)具有高速、高传输效率、低噪声等优点而受到人们的重视。国际上已有人对BCCD的模型进行了研究。其中McKenna^[1]假定埋层完全耗尽和杂质分布均匀的情况下,求出一维的电势分布。但没有考虑信号电荷。Kent^[2]曾考虑过信号电荷,但由于假定埋层中杂质分布是线性的,因而不可能给出解析解。Lees^[3]则在假定埋层是均匀杂质分布情况下考虑了信号电荷,因而求出一维电势分布的解析式,不过形式过于复杂,不便分析。作者采用耗尽层近似和均匀杂质分布的埋层以及Lees对信号电荷的模型,求出N沟、P沟BCCD各区的电势分布,它是一个既简单、又标准的抛物线型电势分布。作者对此结果进行了计算机数值分析,并讨论了沟道的物理深度和几何深度对氧化层厚度的依赖关系;讨论了栅压、埋层深度、杂质浓度以及信号电荷对沟道物理深度的影响。最后讨论了估计信号容量的方法。

二、BCCD的一维电势分布和数值分析

为了求出一维电势分布,把BCCD分成如图1所示的六个区。

图1 BCCD的一维模型

1区为氧化层区($0 \leq x \leq d$)，2区($d \leq x \leq a$)和3区($a \leq x \leq b$)以及4区($b \leq x \leq x_1 + d$)为埋层,其中3区为信号电荷贮存区,5区为衬底耗尽区($x_1 + d \leq x \leq L + x_1 + d$),6区为衬底($x \geq L + x_1 + d$)



定义:

$\phi_{1,2,3,4,5,6}$ 分别表示各区的电势

V_G 栅压

* 1979年8月21日收到。

ϵ_0 真空电容率

ϵ_{ox} 、 ϵ_s 分别表示氧化层和硅的介电常数

N_A 、 N_D 分别表示 P 型、N 型杂质浓度

ρ_1 埋层电荷密度(对 P 沟 $\rho_1 = -qN_A$; 对 N 沟 $\rho_1 = qN_D$)

$Q_s = qN_s$ 信号电荷密度, N_s 表示单位面积的信号电荷数

ϕ_m 沟道电势或沟道的物理深度

x_m 表示 ϕ_m 相应的几何位置

为简化, 对上述有关的量进行归一化:

$$\phi_{1,2,3,4,5,6} = \frac{q}{KT} \phi_{1,2,3,4,5,6}; V_0 = \frac{qV_G}{KT};$$

$$\eta = \frac{\epsilon_{ox}}{\epsilon_s}; \sigma = \frac{N_A}{N_D} (\text{对 P 沟}), \sigma = \frac{N_D}{N_A} (\text{对 N 沟});$$

$$Z = \frac{x}{\lambda_D}, A = \frac{a}{\lambda_D}, B = \frac{b}{\lambda_D}, R = \frac{L}{\lambda_D}, h = \frac{d}{\lambda_D};$$

$$\lambda_D = \sqrt{\frac{\epsilon_0 \epsilon_s K T}{q^2 N_D}} (\text{对 P 沟}); \lambda_D = \sqrt{\frac{\epsilon_0 \epsilon_s K T}{q^2 N_A}} (\text{对 N 沟}).$$

根据 Lees 的假设和有关边界条件, 求解各区的泊松方程, 得到如下 P 沟、N 沟的归一化解:

$$\phi_1 = \frac{1}{\eta} [\sigma \cdot \Delta \pm (R - \sigma Z_1)] Z + V_0 \quad 0 \leq Z \leq h \quad (1)$$

$$\phi_2 = \pm \frac{1}{2} \sigma (Z - A)^2 + \phi_m \quad h \leq Z \leq A \quad (2)$$

$$\phi_3 = \phi_m = \mp \frac{1}{2} R^2 \left(1 + \frac{1}{\sigma} \right) \quad A \leq Z \leq B \quad (3)$$

$$\phi_4 = \pm \frac{1}{2} \sigma (Z - B)^2 + \phi_m \quad B \leq Z \leq (Z_1 + h) \quad (4)$$

$$\phi_5 = \mp \frac{1}{2} [Z - (h + Z_1 + R)]^2 \quad (Z_1 + h) \leq Z \leq (R + Z_1 + h) \quad (5)$$

$$\phi_6 = 0 \quad Z \geq (R + Z_1 + h) \quad (6)$$

式中

$$A = -\frac{1}{\sigma} [R - \sigma(h + Z_1) + \sigma \cdot \Delta] \quad (7)$$

$$B = A + \Delta, \Delta = \frac{-Q_s}{\rho_1 \lambda_D} \quad (8)$$

$$R = -\left(\frac{h}{\eta} + Z_1 - \Delta\right) + \sqrt{(1 + \sigma)\left(\frac{h}{\eta} - \Delta + Z_1\right)^2 - \sigma\left(\frac{h}{\eta}\right)^2 \mp 2V_0} \quad (9)$$

一般规定

$$Z_m = \frac{1}{2} (A + B). \quad (10)$$

凡遇“±”(或“∓”)时, 上边符号代表 P 沟。

根据上述的结果,得出 P 沟 BCCD 中 ϕ_m 、 x_m 与 d 的关系。如图 2 所示, ϕ_m 与氧化层厚度的关系几乎是线性的;随着 d 的增加 ϕ_m 增加,这与 SCCD (表面沟) 情况相反。

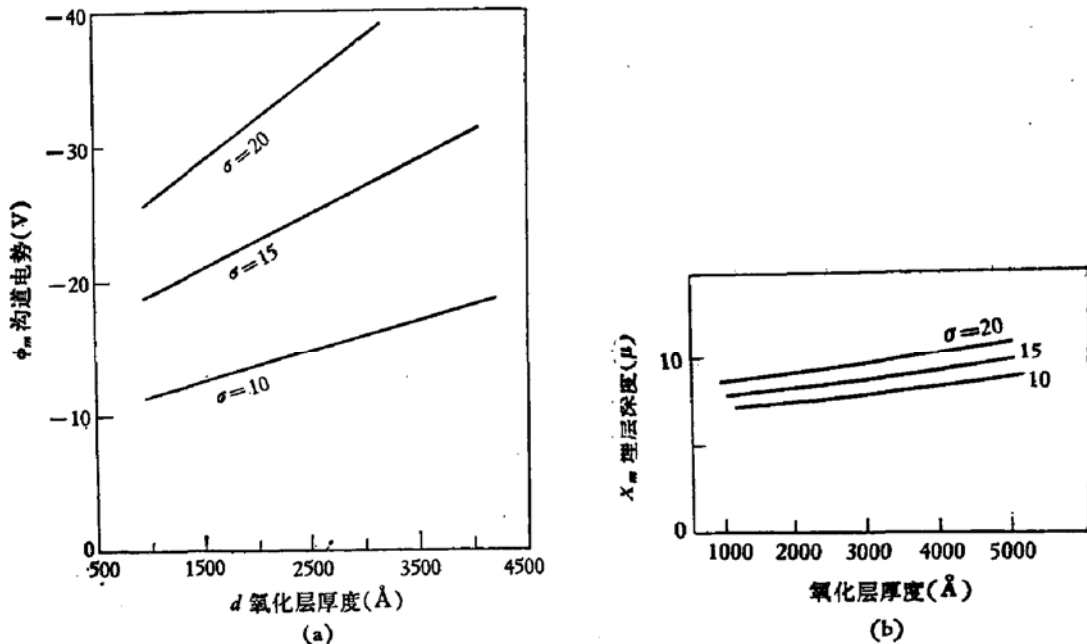


图 2 P 沟 BCCD 中 a) $\phi_m \sim d$ 的关系, b) $x_m \sim d$ 的关系 $x_1 = 2\mu$, $Q_t = 0$, $V_G = 0$ 和 $N_d = 5 \times 10^{14} \text{ cm}^{-3}$ 以及 $\sigma = 10, 15, 20$

图 3 表示 N 沟 BCCD 中 $\phi_m \sim V_G$ 的关系。显然,对 N 沟 BCCD 而言, V_G 可取一定范围的负值;同样对 P 沟而言, V_G 可取一定范围的正值。如果固定注入剂量(控制埋层浓度),注入深度 x_1 有所变化时, ϕ_m 的变化不很显著,可参看图 4。

由式(1)~(9),计算得到信号电荷改变时的 BCCD 的一维电势分布曲线,如图 5 所示。当信号电荷改变时整个曲线有明显的下降,但都遵循抛物线规律。而且随着 N_s 的增加 ϕ_m 、 ϕ_s (表面势)有明显降低,其结果示于图 6。当 $\phi_s(N_s) = \phi_m(N_s)$ 时意味着势阱被填满,此时把 N_s 称为最大信号容量。但是考虑到表面态的影响,规定 $|\phi_s(N_s) - \phi_m(N_s)| \leq 10$ 。当然在实际器件中估计信号容量时,还要考虑另一个条件:相邻电极之间的势垒高度差

$$\Delta H = \frac{Q_t}{C_{eff}}, \text{ 其中 } C_{eff} = \left(\frac{1}{C_{ox}} + \frac{1}{C_{沟道}} \right)^{-1}; C_{沟道} = \frac{\epsilon_0 \epsilon_s}{x_m}.$$

因此,同时满足上述两个条件的 N_s 为该器件的信号容量。

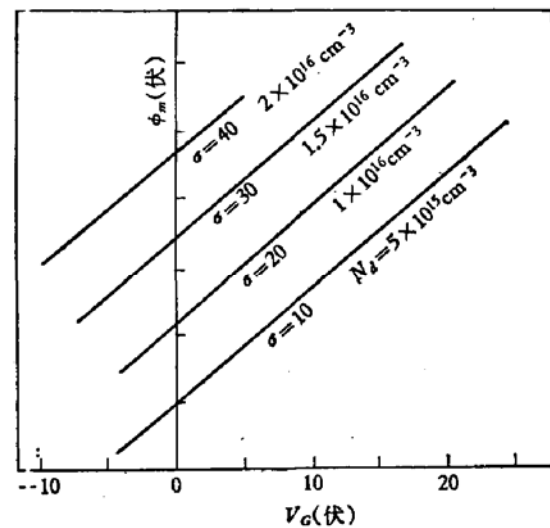
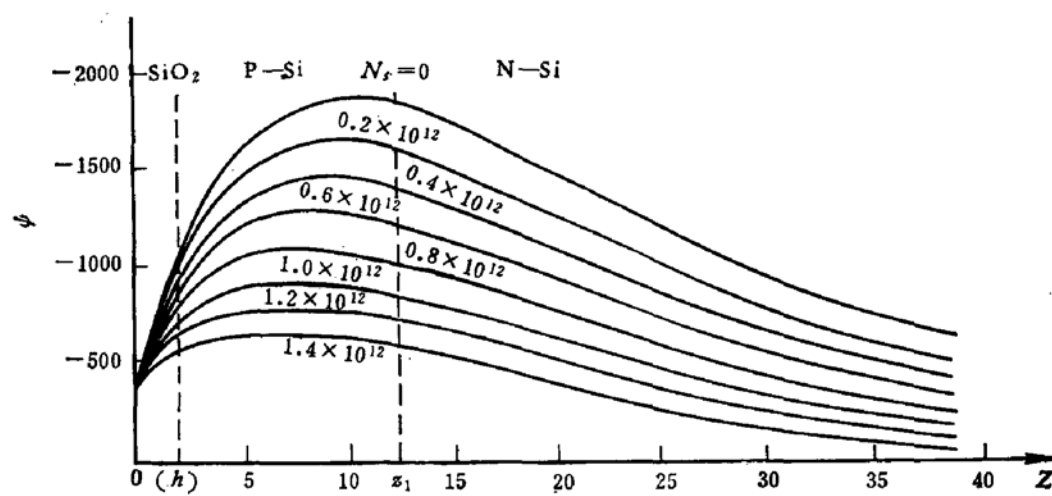


图 3 N 沟 BCCD 中 $\phi_m \sim V_G$ 的关系 $x_1 = 1\mu$, $d = 0.15\mu$, $Q_t = 0$, $N_A = 5 \times 10^{14} \text{ cm}^{-3}$, $\sigma = 10, 20, 30, 40$
(纵轴每格为 5V)

图5 P沟BCCD中 $\psi \sim Z$ 的关系

$$h = \frac{0.3\mu}{\lambda_D}, \sigma = 20, Z_1 = \frac{2\mu}{\lambda_D}, V_G = -10V, N_d = 5 \times 10^{14} \text{cm}^{-3}$$

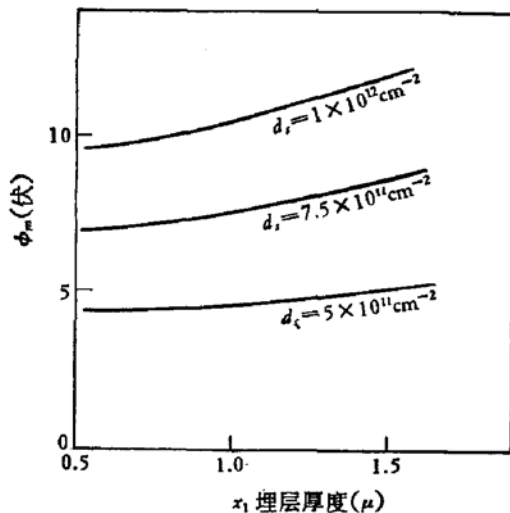


图4 N沟BCCD中 $\phi_m \sim x_1$ 的关系
 $d = 0.15\mu, V_G = 0, Q_s = 0, N_A = 5 \times 10^{14} \text{cm}^{-3}$,
 注入剂量 $d_1 = 5 \times 10^{11} \text{cm}^{-2}, 7.5 \times 10^{11} \text{cm}^{-2}, 1 \times 10^{12} \text{cm}^{-2}$

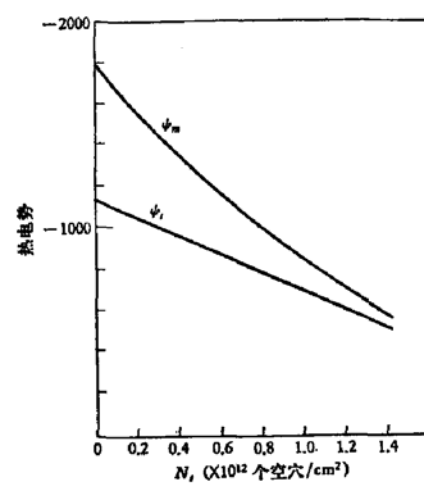


图6 P沟BCCD中 $\psi_m, \psi_s \sim N_d$ 的关系
 $Z_1 = \frac{2\mu}{\lambda_D}, h = \frac{0.3\mu}{\lambda_D}, V_G = -10V$
 $N_d = 5 \times 10^{14} \text{cm}^{-3}$

对原406组同志在讨论中给予的帮助表示感谢。在计算机计算过程中得到王文苍、刘盘泉、张洞宣、何乃明、傅志煌等同志的帮助，在此表示感谢。

参 考 文 献

- [1] McKenna, D. J., Schryer, N. L. and Valden, K. H., *BSTJ*, **53**, 1581 (1974).
- [2] Kent, W. O., *BSTJ*, **52**, 1009 (1973).
- [3] Lees, A. W. and Ryan, W. D., *Solid-state Electronics*, **17**, 1163 (1974).

A BCCD MODEL OF ONE DIMENSION AND ITS NUMERICAL ANALYSIS

Cui Chenglie

(Institute of Semiconductors, Chinese Academy of Sciences)